Մեխանիկա XXXIII, № 1, 1980

Механика

Д. В. ГРИАИЦКИИ, А. А. ЕВТУШЕНКО, Г. Т. СУАИМ

ПОЛУПЛОСКОСТЬ С ПРОИЗВОЛЬНО-ОРИЕНТИРОВАННЫМ ЛИНЕЙНЫМ УПРУГИМ ВКЛЮЧЕНИЕМ

В последнее время напряженно-деформпруемое состояние исследовано для большого числа геометрических объектов, содержащих дефекты тина грешин, включений, в том числе и тоякостенных. В работах [1—3] решены задачи плоской теории упругости для однородной и кусочно- днородной плоскости с тонким упругим включением конечной длины.

В данной работе предложена методика решения задач для полуплоскости с произвольно расположенным гонкостенным упругим включением. С помощью интегрального преобразования Фурье проблема сформулирована в виде системы интегральных уравнений с сингулярными ядрамл типа Коши относительно неизвестных скачков напряжении и производных от смещений на кромках включения. Соответствующие системы интегральных уравнении для трещины и абсолютно жесткого включения получены как частные случаи. Приводится численный пример.

1. Постановка задачи и вывод интегральных уравнений

Рассмотрим упругую изотронную полуплоскость — $\infty < x < \infty$, 0 у < ∞ , содержащую прямолиненное тонкостенное упругое включение ширины 2^n , средниная линия которого определяется условиями a = 0 0 = 0_a ($0 \le 0 < \pi/2$). Здесь, для удобства, наряду с декартовой системой координат хоу, впедена система координат полуплоскости действует произвольная система сосредоточенных сил, а также однородное поле напряжений на бесконечности. Граница $L = \{(x,y)^n - \infty < x < y = 0\}$ полуплоскости и кромки включения свободны от внешних усилий. Требуется определить напряженио-деформируемое состояние в теле, в частности, коэффициенты интенсивности напряжений на торцах x = a, x = b включения.

Предположение о малой толщине включения позволяет моделировать его скачком напряжений и производных от смещений в однородной полуплоскости на отрезке, совпадающем со срединной липпеи реального включения:

$$\begin{aligned} \left[z_{nn}(s, +0) - iz_{nn}(s, +0)\right] - \left[z_{nn}(s, -0) - iz_{nn}(s, -0)\right] &= f_1(s) - if_2(s) \\ \left[u_s(s, +0) + iv_s(s, +0)\right] - \left[u_s(s, -0) + iv_s(s, -0)\right] &= f_3(s) - if_3(s) \end{aligned}$$

$$(f_j(s) = 0, \ s \in [a, b], \ j = 1, 2, 3, 41$$

Здесь
$$u = \frac{\partial u}{\partial s}$$
, $v_i = \frac{\partial v}{\partial s}$.

В рамках линейной теории упругости исследуемую проблему можно рассматривать как наложение двух задач: первой граничной задачи для полуплоскости без включения (задача «0») и смешанной граничной задачи для полуплоскости с математическим разрезом вдоль отрезка [a,b] при следующих граничных условиях:

$$z_{nn}^{*}(s, \pm 0) = z_{nn}^{*}(s, \pm 0) = 0, \qquad x < x < m$$

$$z_{nn}^{*}(s, \pm 0) = z_{nn}(s, \pm 0) - z_{nn}^{0}(s, 0)$$

$$z_{sn}^{*}(s, \pm 0) = z_{sn}(s, \pm 0) - z_{sn}^{0}(s, 0)$$

$$u_{sn}^{*}(s, \pm 0) = u_{sn}(s, \pm 0) - u_{sn}^{0}(s, 0)$$

$$v_{sn}^{*}(s, \pm 0) = v_{sn}(s, \pm 0) - v_{sn}^{0}(s, 0)$$

$$v_{sn}^{*}(s, \pm 0) = v_{sn}^{*}(s, \pm 0) - v_{sn}^{0}(s, 0)$$

$$v_{sn}^{*}(s, \pm 0) = v_{sn}^{*}(s, \pm 0) - v_{sn}^{0}(s, 0)$$

(задача

Отметим, что решение вадачи "*" на кромках щели будет иметь те же скачки f(s) (f=1,2,3,4), что и изучаемая вадача.

В свою очередь, функцию напряжений Ф (s, n) задачи в представим в виде

$$\Phi^*(s, n) = \Phi^1(s, n) + \Phi^2(s, n) \tag{1.4}$$

где $\Phi^1(s,n)$ определяет решение для неограниченной плоскости со скачками () () 1, 2, 3, 4) на соответствующем разрезе (задача «1»); $\Phi^2(x,y)$ — функция напряжений для сплошной полуплоскости, загруженной вдоль границы L усилиями, которые равны по величине и противоположны по знаку напряжениям, определяемым на L функцией $\Phi(s,n)$ (задача «2»).

При отсутствии объемиых сил решение уравнении равновесия для авумерного упругого тела сподится к решению бигармонического уравнения [5]

$$\Delta_u \Delta_g \Phi^{\dagger} = 0$$

общее решение которого с помощью интегрального преобразолания Фурье представим в форме

$$\Phi^{1}(s, n) = (2\pi)^{-1} \int_{-\infty}^{\infty} \pi^{1}(s, n) \exp(-i\zeta s) d\zeta$$
 (1.5)

rae

$$[A_1(\zeta) + n; A_2(\zeta)] \exp(-n\zeta), \quad n > 0$$

 $[A_3(\zeta) + n; A_1(\zeta)] \exp(n\zeta), \quad n < 0$

 $z = [1, A_i](\zeta)$ (i = 1, 2, 3, 41 в общем случае комплексные функции, определяемые из граничных условий задачи.

Принимая во внимание, что граничные условия задачи «1» записываются аналогично (1.1), а компоненты тензора напряжении имеют вид

$$z^{1} = \frac{\partial^{2} \Phi^{1}}{\partial s^{2}}, \quad z^{1}_{ss} = \frac{\partial^{2} \Phi^{1}}{\partial n^{2}}, \quad z^{1}_{sn} = -\frac{\partial^{2} \Phi^{1}}{\partial s \partial n}$$

с помощью закона Гука получаем алгебраическую систему уравнений для определения $A_i(s)$ в виде несобственных интегралов от неизвестных пока функций $f_i(s)$ (j = 1, 2, 3, 4). Интегрируя по - с использованием трансформант Фурье [6], находим

$$z_{s,t}^{1}(s, n) = (2\pi)^{-1} \int_{0}^{b} \left[k_{1}/k_{0}^{1}g_{1}(s, n) + m_{1}g_{2}(s, n)\right] f_{1}(t) + \left[m_{2}g_{3}(s, n) + m_{1}g_{4}(s, n)\right] f_{2}(t) + \left[g_{3}(s, n) - g_{4}(s, n)\right] f_{1}(t) f_{2}(2k_{0}^{1}) + \left[g_{3}(s, n) - g_{4}(s, n)\right] f_{1}(t) f_{2}(2k_{0}^{1}) dt + \left[m_{3}g_{1}(s, n) - m_{1}g_{4}(s, n)\right] f_{1}(t) f_{2}(2k_{0}^{1}) dt + \left[m_{3}g_{1}(s, n) - m_{1}g_{4}(s, n)\right] f_{2}(t) - g_{2}(s, n) f_{3}(t) f_{3}(t) f_{2}(2k_{0}^{1}) + \left[g_{1}(s, n) + g_{1}(s, n)\right] f_{1}(t) f_{2}(2k_{0}^{1}) f_{3}(t) f_{3}(t) f_{4}(t) f_{3}(t) + \left[g_{1}(s, n) + m_{1}g_{1}(s, n)\right] f_{2}(t) - \left[g_{3}(s, n) - g_{1}(s, n)\right] f_{3}(t) f_{3}(t) f_{4}(t) f_{3}(t) f_{4}(t) f_{5}(t) f_{5}$$

Злесь

$$g_{3}(s, n) = \frac{2n}{(t - s) + n^{2}}, \quad g_{4}(s, n) = n \frac{(t - s) - n^{2}}{[(t - s)^{2} + n^{2}]^{2}}$$

$$g_{3}(s, n) = \frac{t - s}{(t - s)^{2} + n^{2}}, \quad g_{4}(s, n) = \frac{2n^{2}(t - s)}{[(t - s)^{2} + n^{2}]^{2}}$$

$$m_{1} = (1 + k_{1}^{1}/k_{0})/2, \quad m_{2} = -(1 + k_{2}^{1}/k_{0}^{1})/2$$

$$m_{4} = (3 - k_{2}^{1}/k_{0})/2, \quad m_{1} = (m_{2} - k_{1}^{1}/k_{0}^{1}m_{3})/2$$

$$k_{1} = (1 + \kappa_{p})/(8\kappa_{p}), \quad k_{2}^{p} = (5 + \kappa_{p})/(8\kappa_{p})$$

$$\mu_{p} = E/[2(1 + \kappa_{p})]$$

 $3-4v_p-\mu$ случае плоской деформации; $(3-v_p)/(1+v_p)-\mu$ случае обобщенного плоского напряженного состояния;

 E_{ρ} , v_{ρ} — модуль Юнга и коэффициент Пуассона материала матрицы $(\rho = 1)$ и включения $(\rho = 0)$ соответственно.

С помощью интегрального представления функции напряжения $\Phi^{z}(x,y)$

$$\Phi^{-}(x, y) = (2\pi)^{-1} \int_{-\infty}^{\infty} \varphi^{-}(\zeta, y) e^{-ix\cdot x} d\zeta$$
 (1.7)

rie

$$\varphi^{2}(f, y) = [B_{1}(1) + \zeta y B_{2}(1)] \exp(-\zeta y)$$

Согласно формулам (1.2), (1.4) имеем

$$\frac{\partial^2 \Phi^2}{\partial x} = \frac{\partial^2 \Phi^1}{\partial n^2} - \frac{\partial^2 \Phi^1}{\partial n^2} - \frac{\partial^2 \Phi^1}{\partial s \partial n}$$

$$\frac{\partial^2 \Phi^2}{\partial x \partial y} = \frac{\partial^2 \Phi^1}{\partial s^2} - \frac{\partial^2 \Phi^1}{\partial s^2} - \frac{\partial^2 \Phi^1}{\partial n^2} - (2^2 - 3^2) \frac{\partial^2 \Phi^1}{\partial s \partial n} \text{ ha } L$$

$$(2 - \cos \theta_0, \beta = \sin \theta_0)$$

Отсюда, учитывая (1.5), (1.7), нетрудно записать систему двух алгебранческих уравнений для определения неизвестных $B_j(\zeta)$ (j=1,2). Решив эту систему и производя несложные выкладки, получим

$$\sigma_{xx}^{2}(x, y) = \sum_{i=1}^{b} \sum_{j=1}^{b} S_{1j}(x, y, y)$$
 (1) dt

$$\sigma_{yy}^{2}(x, y) = (1)^{-1} \sum_{j=1}^{b} \sum_{j=1}^{b} S_{2j}(x, y, y)$$
 (1) dt

$$\sigma_{xy}^{2}(x, y) = (\pi)^{-1} \sum_{j=1}^{b} \int_{u_{j}}^{b} S_{3j}(x, y, t) f_{j}(t) dt$$

$$u_{i}^{2}(x, y) = k_{0}^{1} \sigma_{xx}^{2}(x, y) - k_{1}^{1} \sigma_{yy}^{2}(x, y)$$

$$v^{2}(x, y) = (\pi)^{-1} \sum_{j=1}^{b} \int_{u_{j}}^{b} S_{4j}(x, y, t) dt \qquad (1.8)$$

где $S_{ij}(x,y,t)$ (i,j=1,2,3,4) — вполне регулярные функцив, явные выражения которых не приводятся вследствие некоторой их громоздиости.

Имея функции Φ (s, n), Φ 2(x, y), путем суммирования определяем напряженно-деформируемое состояние рассматриваемого тела в любон его точке:

$$z_{nn}(s, n) = z_{nn}(s, n) + z_{nn}^{1}(s, n) + (s, n)$$

$$z_{sn}(s, n) = z_{sn}^{0}(s, n) + z_{sn}^{1}(s, n) + (s, n)$$

$$u_{s}(s, n) = u^{0}(s, n) + u_{s}^{1}(s, n) + u_{s}^{1}(s, n)$$

$$v_{s}(s, n) = v^{0}(s, n) + v_{s}^{1}(s, n) + v_{s}^{1}(s, n)$$
(1.9)

Переходя в (1.9) к пределу, когда n-r+0, получим следующие выражения характеристик напряженно-деформируемого состояния на верхнем берегу включения

$$\sigma_{nn}(s, \pm 0) = (s) + f_1(s) \cdot 2 + m_3 t_2(s) + t_4(s) \cdot (2k_0^1) + K_2(s) + k_3(s) \cdot (2k_0^1) + k_3(s) + k_3(s) \cdot (2k_0^1) + k_3(s) + k_3$$

Значения для соответствующих величин на нижней кромке включения определяются из (1.1) и (1.10). В соотпощениях (1.10) приняты обозначения

$$t_{p}(s) = (2\pi)^{-1} \int_{a}^{b} K_{p}(s) = (-1)^{-1} \sum_{j=1}^{b} R_{nj}(s, t) f_{j}(t) dt$$

$$(p = 1, 2, 3, 4)$$

$$R_{1j}(s, t) = \sum_{j=1}^{b} (2s, t) + \sum_{j=1}^{b} (2s, t) \cos 2\theta_{0} - \sum_{i,j} (2s, as, t) \sin 2\theta_{0}$$

$$R_{2j}(s, t) = \sum_{i,j} (2s, as, t) \sin 2\theta_{0} + \sum_{i,j} (2s, as, t) \cos 2\theta_{0}$$

$$R_{3j}(s, t) = m_{3} \sum_{i,j} (3s, as, t) - m_{1} \sum_{i,j} (2s, as, t) \sin 2\theta_{0} - \sum_{i,j} (2s, as, t) \sin 2\theta_{0}$$

$$(s, t) = [m_{3} \sum_{i,j} (2s, as, t) - m_{1} \sum_{i,j} (2s, as, t)] a - + [k_{2}^{1}(2k_{3}^{1}) \sum_{i,j} (\beta s, as, t) - \sum_{i,j} (\beta s, as, t)/2] 3$$

Подстановка соотношений (1.10) в условия взаимодействия тонкостенного упругого включения с матрицей [3] приводит к системе сингулярных интегральных уравнений

$$t_{2}(s) + \lambda_{11}t_{1}(s) + \iota_{1} \int_{a}^{s} f_{2}(t) dt - \iota_{11}K_{1}(s) - \iota_{12}K_{2}(s) = F_{1}(s)$$

$$t_{3}(s) + \lambda_{21}t_{1}(s) + \iota_{2} \int_{a}^{s} f_{3}(t) dt - \iota_{10}K_{2}(s) + \lambda_{23}K_{1}(s) = F_{2}(s)$$

$$t_{4}(s) + \lambda_{31}t_{2}(s) + \int_{a}^{s} [\lambda_{3}f_{2}(t) + \lambda_{4}f_{1}(t)] dt - \iota_{32}K_{1}(s) = F_{3}(s)$$

$$f_{3}(s) = -k_{3}^{n}f_{1}(s), \quad s \in [a, b]$$

$$(1.11)$$

Здесь

$$F_{1}(s) = [k_{0}^{0}N_{a} - u^{0}(s) - k_{1}^{0}z_{\pi n}(s)]/\Lambda_{1}$$

$$F_{2}(s) = \mu_{0}[v_{4}^{0}(s) - z_{4n}(s)/\mu_{0} - c_{4n}(2h)]/\Lambda_{2}$$

$$F_{3}(s) = [z_{nn}(s) + d_{4n}(2hk_{0}^{0}) - N_{4n}k_{1}^{0}/k_{0}^{0}]/\Lambda_{3}$$

$$I_{11} = (m - k_{1}^{0}k_{1}^{0})/(4\Lambda_{1}), \quad I_{12} = k_{1}^{0}/\Lambda_{1}, \quad I_{13} = 1/\Lambda_{1}$$

$$I_{21} = (-m_{3} + 4\mu_{0}m_{4})/(4\Lambda_{1}), \quad I_{23} = \mu_{0}/\Lambda_{2}$$

$$I_{31} = m_{3}/\Lambda_{3}, \quad I_{1} = 1/\Lambda_{3}, \quad k_{0}^{0}/(2h\Lambda_{3}), \quad I_{4} = -\mu_{0}/(2h\Lambda_{2})$$

$$I_{3} = k_{1}^{0}/(2kk_{0}^{0}\Lambda_{3}), \quad I_{4} = -1/(2hk_{0}^{0}\Lambda_{3}), \quad \Lambda_{1} = -m_{4} + k_{1}^{0}m_{3}$$

$$I_{2} = m_{3}\mu_{0} - 1/(4k_{0}^{1}), \quad \Lambda_{3} = 1/(4k_{0}^{1}), \quad k_{3}^{0} = [(k_{1}^{0})^{2} - (k_{0}^{0})^{2}]/k_{0}^{0}$$

Искомые функции удовлетворяют дополнительным условиям

$$\int_{a}^{b} (t) dt = A' \quad (j = 1, 2, 3, 4)$$
 (1.12)

$$A^{1} = 0$$
, $A^{2} = 2h(N_{b} - N_{a})$, $A^{3} = c_{b} - c_{a}$, $A^{4} = d_{b} - d_{a}$

Нормальные напряжения N_s на торцах включения, а также перемещения c_s , d_s (s=a,b) нижней точки торца включения относительно верхнен его точки вычисляются по формулам работы [3].

В случае абсолютно жесткого включения ($E_{\rm col} = \infty$) система (1.11) преобразуется к виду

$$m_1 t_1(s) - K_2(s) - v_s^0(s)$$

$$m_1 t_2(s) - K_1(s) = -u_s^0(s)$$

$$f_2(s) = f_1(s) = 0, \quad s \in [a, b]$$
(1.13)

Когда же $E \to 0$, получаем систему спитулярных интегральных уравнений для трещины и полуплоскости

$$K_{1}(s) = z_{\pi_{1}}^{n}(s)$$

$$A_{3}(s) + K_{2}(s) = z_{\pi_{1}}^{n}(s)$$

$$f_{1}(s) = f_{2}(s) = 0, \quad s \in [a, b]$$
(1.14)

Уравнения (1.14) совпадают с таковыми работы [7].

2. Решение системы сингулярных интегральных уравнений

Решение системы сингулярных интегральных уравнений (1.11) ищем в виде

$$f_n(\zeta) = \left[A_0^i + \sum_{i=1}^n A_n^i T_n(\zeta) \right] / \sqrt{1 - \zeta} \qquad (i = 1, 2, 3, 4) \tag{2.1}$$

где $\zeta = (s+c) a_0$, $2a_1 = b-a$, 2c+b+a. $T_n(\zeta)$ — полиномы Чебышева первого рода. Подставляя (2.1) в условия (1.12) и интегрируя, получаем

$$A_0 = A^T/(a_0\pi) (2.2)$$

Подстановка ряда (2.1) в систему интегральных уравнений (1.11) и обычная процедура метода ортогональных полиномов приводят к системе алгебранческих уравнений для определения искомых коэффициентов разложений

$$\begin{aligned}
& \left[i A_{k-1}^{4} - \sum_{n=1}^{\infty} \left[\left(\tilde{a}_{k-1, n} - b_{2} B_{n-1} + \sum_{k} H_{n, k}^{i} A_{n} \right) - F_{k} \right] \\
& \left[i A_{k-1}^{4} - \sum_{n=1}^{\infty} \left[\left(\tilde{a}_{k+1, n} - b_{2} B_{n-1} + \sum_{k} H_{n, k}^{2j} A_{n}^{j} \right) \right] - F_{k}^{2} \right] \\
& \sum_{n=1}^{\infty} \left[\left(i A_{31} \tilde{a}_{k+1, n} - b_{3} B_{n-1, k} \right) A_{n}^{j} - \left(A_{k+1, n}^{3} - b_{3} B_{n-1, k} \right) A_{n}^{4} - \sum_{k=1}^{\infty} H_{n, k}^{j} A_{n}^{j} \right] - F_{k}^{3} A_{k+1}^{4} - k_{3}^{3} A_{k+1}^{4}, \quad k = 0, 1, 2, \dots
\end{aligned} \tag{2.3}$$

где 444 симнол Кронекера и

$$F_{k}^{1} = G_{k}^{1} - \iota_{1}B - \sum_{j=1}^{n} H_{ik}^{j} A_{0}^{j}$$

$$F_{k} = G_{k}^{2} + \iota_{2}B - \sum_{j=1}^{n} H_{ik}^{j} A_{0}$$

$$A_{i}^{1} B_{-1} = \sum_{j=1}^{n} H_{ik}^{j} A_{0}$$

$$A_{i}^{2} B_{-1} = \sum_{j=1}^{n} H_{ik}^{j} A_{0}$$

$$Q_{1}(\zeta) = F_{1}(\zeta) - A^{2} i_{1}(2a_{0}), \qquad Q_{2}(\zeta) = F_{2}(\zeta) - A^{2} i_{2}(2a_{0})$$

$$Q_{3}(\zeta) = F_{3}(\zeta) - (i_{3}A^{2} + i_{4}A^{4})/(2a_{0}), \qquad i_{j} = a_{0}i_{j}$$

$$B_{n-1,k} = 1, (n^{2} - k^{2}) - 1 [n^{2} - (k+2)^{2}]$$

$$H_{nk}^{pj} = \frac{2}{\pi} \int_{-1}^{1} U_{k}(\zeta) [1 - \zeta^{2}] \int_{-1}^{1} h_{pj} (-1) (1 - \zeta^{2})^{-1/2} dz d\zeta$$

$$h_{1j}(\zeta, z) = -i_{22}R_{2j}(\zeta, z) + i_{23}R_{4j}(\zeta, z)$$

$$h_{2j}(\zeta, z) = -i_{22}R_{2j}(\zeta, z) + i_{23}R_{4j}(\zeta, z)$$

 $h_{1}(\zeta, z) = -\frac{1}{32}R_{1j}(\zeta, z), \ U_k(\zeta)$ полиномы Чебіншева второго рода: $(p-1, 2, 3; \ j=1, 2, 3, 4; \ k, \ n=0, 1, 2...).$

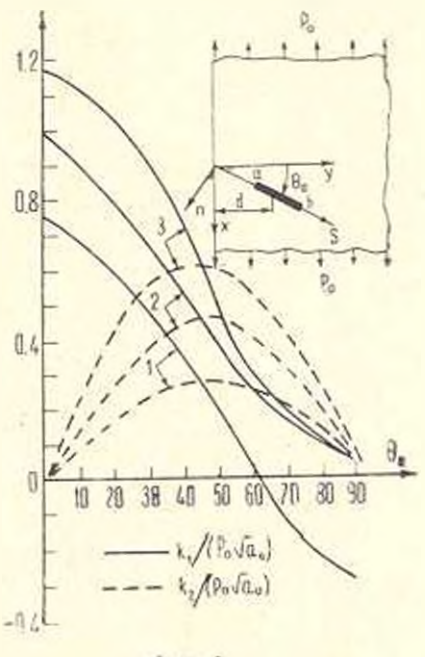
Для примера более подробно рассмотрен случай упругого равновесия композита под действием усилии $z_1 = p_0$. Коэффициенты интенсивности напряжении у левого торца включения определяются формулами

$$\{k_i\} = \lim_{k \to 0} [1 \ \overline{2(a-s)} \ ... (s, 0)]$$

Система уравнений (2.3) решалась методом редукции. Контроль сходимости проводился путем сравнения функции $f_i^N(x)$ (i=1,4), вычислениых при N=M и N=2M соответственно. В рассмотрениом примере для до-

стижения точности вычислений и 5% оказалось возможным, в занисимости от относительной жесткости включения $E_n E_1$, ограничиться решением системы уравнений от 15-го до 30-го порядка. Вычисления проводились при фиксированном расстоянии $d=cx=2a_0$ центра включения от границы полуплоскости.

На графике представлена зависимость безразмерных коэффициентов интепсивности напряжений $k_0 = k_1$ p_0 p_0



Due 1

 $E_{\rm h} E_{\rm t} = 0.01$, отличаются от соответствующего решения для полуплоскости с трещиной [4] не более, чем на $2-3\,{\rm m/p}$.

Аввовский ордена Ленина госуниверситет им. Нвана Франко

Поступила 10 1 1979

ԿԱՄԱՎՈՐ ՈՒՂՂՎԱԾ ԳԾԱՑԻՆ ԱՌԱԶԳԱԿԱՆ ՆԵՐԳՐԱԿՈՎ ԿԻՍԱՀԱՐԹՈՒՅՈՒՆԸ

Ամփոփում

Գծային Թերություններով միջավայրերի համար առաձգականության տեսության հարթ իսնդիրների լուծման համար դարդացվում է եղանակ, որը հիմնրված է ինտեգրալ ձևափոխությունների մեքեղի կիրառման վրա։

Դիտարկվում է վերջավոր երկարությամբ բարակ առաձգական ներդրումով հղուտորա կիսա արխություն, Բերվում է Եվային օրինակ։

SEMI-PLANE WITH LINEAR ELASTIC INCLUSION OF ARBITRARY ORIENTATION

D. V. GRILITSKI, A. A. JEVTUSHENKO, G. T. SULIM

Summary

An approach to solving the plane-theory-of-elasticity problems for media with linear defects is considered. This approach is based on the integral transformation method for bodies with cracks in the case of isotropic semi-plane with thin elastic inclusion of finite length.

A numerical example is given.

JUTEPATYPA

- Хачикия А. С. Расповесие плоскости с тонкостеплым упругим включением кочечной длины. Нав. АН АрмССР, Механика, 1970. т. 23. № 3, стр. 14—22.
- Сциим Г. Г., Гримицкий Л. В. Напряженное состояние кусочно-однородной члоскости с топкостенным упругим включением конечной длины. Прикл. механ., 1972, т. 8, вып. 11, стр. 58—65.
- 3. Грилишкий Д. В., Сулим Г. Т. Периодическая задача для упругой плоскости с тонкостенными включениями. ПММ, 1975, т. 39, вып. 3, стр. 520—529.
- 4. Erdogan F. Artn K. A half plane and strip with an arbitrarily located crack. Int. Jorn. of Fract., April 1975, v. 11, No. 2, pp. 191-204.
- 5. Снеддом И. Интегральные преобразования Фурье. И.А. М., 1955.
- 6. Бейгмен Г., Эрдейи 4. Габляцы интегральных преобразопании, т. 1. П. М., «Гаука». 1969, 1970.
- 7. Krenk S. The problem of an inclined cracking an elastic strip Rapp. Afd. baerende konstr. Dann. tekn. hisk., 1974, 11. No. 50, 42 pp.